

Машинное обучение и нейросетевые модели

Лекция 10. Современные архитектуры GAN

Лектор: Кравченя Павел Дмитриевич

Волгоград 2025

План лекции

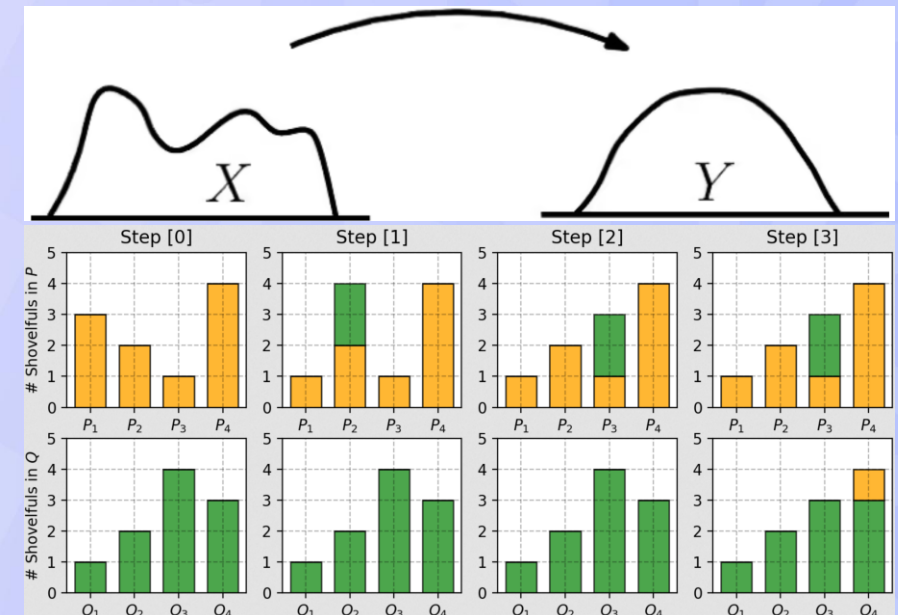
1. Проблемы с KL и IS. Расстояние Вассерштейна и его особенности.
 2. Wasserstein GAN и принцип его работы. Обучение Wasserstein GAN.
 3. Спектральная нормализация весов GAN.
 4. Задачи преобразования изображений, подходы к их решению.
 5. Использование perceptual loss для контроля схожести признаков и стиля.
 6. Super-Resolution GAN. Архитектура генератора и дискриминатора.
 7. Архитектура CycleGAN и принцип её работы. Свойство постоянства цикла.
 8. Обучение CycleGAN. Виды ошибок при обучении. Классическая реализация.
 9. Выделение высокоуровневых признаков в изображениях. StyleGAN.
 10. Style-Based генератор. Адаптивная instance-нормализация. Стили.
-

- Задача обучения генеративно-состязательных сетей сводится к попытке научить генератор G создавать данные, распределение которых $p_g(\mathbf{x})$ максимально близко к распределению реальных данных $p_r(\mathbf{x})$.
- Для оценки этой «близости» нужно уметь измерять «расстояние» между $p_r(\mathbf{x})$ и $p_g(\mathbf{x})$, для чего часто используются дивергенции Кульбака-Лейблера или Йенсена-Шеннона.
- Однако, у данных способов измерения степени схожести распределений имеются проблемы, такие как нестабильность обучения и исчезающий градиент, особенно если распределения $p_r(\mathbf{x})$ и $p_g(\mathbf{x})$ не пересекаются.
- Можно ли оценивать схожесть распределений по-другому?

- Еще одной мерой схожести двух распределений является расстояние Вассерштейна (Earth Mover's distance):

$$W(p_r, p_g) = \inf_{\gamma \sim \Pi(p_r, p_g)} \mathbb{E}_{(x,y) \sim \gamma} [\|x - y\|].$$

- Расстояние Вассерштейна можно интерпретировать как «стоимость» перемещения земли между двумя кучами.
- Рассмотрим пример дискретного случая. Пусть $\delta_{i+1} = \delta_i + P_i - Q_i$. Тогда:
 $\delta_0 = 0, \quad \delta_1 = 0 + 3 - 1 = 2, \quad \delta_2 = 2 + 2 - 2 = 2,$
 $\delta_3 = 2 + 1 - 4 = -1, \quad \delta_4 = -1 + 4 - 3 = 0.$
- Тогда расстояние $W = \sum_i |\delta_i| = 5$.



- Рассмотрим два распределения $p(x, y)$ и $q(x, y)$ таких, что:

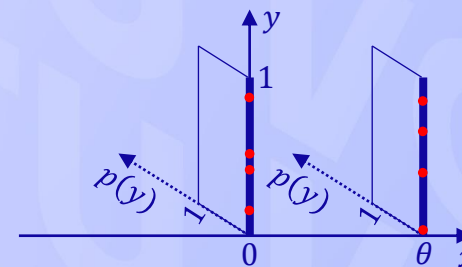
$$\begin{aligned}\forall (x, y) \in p(x, y) &\hookrightarrow x = 0, y \sim \mathcal{U}(0, 1), \\ \forall (x, y) \in q(x, y) &\hookrightarrow x = \theta, y \sim \mathcal{U}(0, 1).\end{aligned}$$

- Когда $\theta \neq 0$:

$$\text{KL}(p||q) = \sum_{\substack{x=0 \\ y \sim \mathcal{U}(0,1)}} p(x, y) \cdot \log \frac{p(x, y)}{q(x, y)} = \sum_{\substack{x=0 \\ y \sim \mathcal{U}(0,1)}} 1 \cdot \log \frac{1}{0} = +\infty,$$

$$\text{KL}(q||p) = \sum_{\substack{x=\theta \\ y \sim \mathcal{U}(0,1)}} q(x, y) \cdot \log \frac{q(x, y)}{p(x, y)} = \sum_{\substack{x=\theta \\ y \sim \mathcal{U}(0,1)}} 1 \cdot \log \frac{1}{0} = +\infty,$$

$$\text{JS}(p||q) = \frac{1}{2} \left[\sum_{\substack{x=0 \\ y \sim \mathcal{U}(0,1)}} p(x, y) \cdot \log \frac{2 \cdot p(x, y)}{p(x, y) + q(x, y)} + \sum_{\substack{x=\theta \\ y \sim \mathcal{U}(0,1)}} q(x, y) \cdot \log \frac{2 \cdot q(x, y)}{p(x, y) + q(x, y)} \right] = \log 2,$$

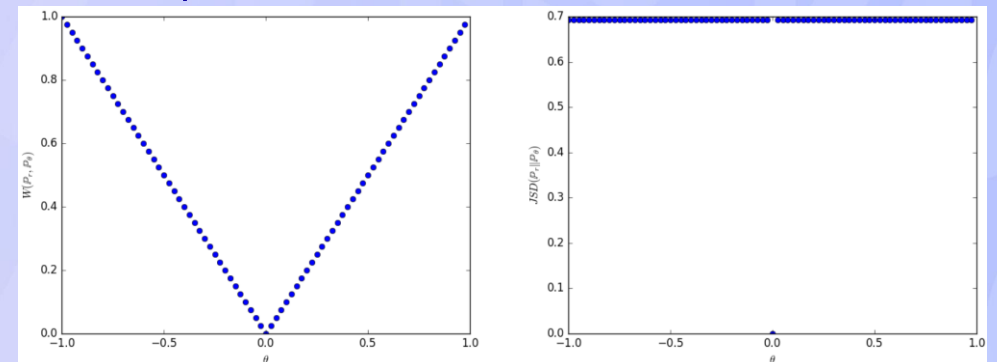


$$W(p, q) = |\theta|.$$

- Но когда $\theta = 0$, распределения $p(x, y)$ и $q(x, y)$ полностью перекрываются. Тогда:

$$\begin{aligned} \text{KL}(p||q) &= \text{KL}(q||p) = \text{JS}(p||q) = 0, \\ W(p, q) &= 0 = |\theta|. \end{aligned}$$

- Видно, что если распределения не совпадают, дивергенция Кульбака-Лейблера равна бесконечности. Значение дивергенции Йенсена-Шеннона испытывает скачок, что приводит к её недифференцируемости в точке $\theta = 0$. А расстояние Вассерштейна остаётся гладким, что обеспечивает стабильный процесс обучения GAN.



- В выражении для расчета расстояния Вассерштейна присутствует *infimum* по распределениям, расчет которого вычислительно очень сложен (*intractable*). Поэтому, пользуются соотношением двойственности Канторовича-Рубинштейна:

$$W(p_r, p_g) = \frac{1}{K} \sup_{\|f\|_L \leq K} \left[\mathbb{E}_{x \sim p_r}[f(\mathbf{x})] - \mathbb{E}_{x \sim p_g}[f(\mathbf{x})] \right].$$

Здесь $f: \mathcal{X} \rightarrow \mathbb{R}$ – K -Lipschitz continuous функция, т.е. для которой:

$$\exists K \geq 0 : \forall \mathbf{x}_1, \mathbf{x}_2 \in \mathcal{X} \hookrightarrow |f(\mathbf{x}_1) - f(\mathbf{x}_2)| \leq K|\mathbf{x}_1 - \mathbf{x}_2|.$$

- Предполагая, что $f = f_w$ является K -Lipschitz continuous и рассчитывается с помощью дискриминатора в GAN, получим Wasserstein Loss для GAN:

$$\mathcal{L}(p_r, p_g) = W(p_r, p_g) = \max_{w \in \mathcal{W}} \left[\mathbb{E}_{\mathbf{x} \sim p_r}[f_w(\mathbf{x})] - \mathbb{E}_{\mathbf{z} \sim p_z}[f_w(g_\theta(\mathbf{z}))] \right].$$



```
while  $\theta$  has not converged do  
  for  $t = 0, \dots, n_{critic}$  do  
    Sample  $\{\mathbf{x}^{(i)}\}_{i=1}^m \sim p_r(\mathbf{x})$  batch from the real data;  
    Sample  $\{\mathbf{z}^{(i)}\}_{i=1}^m \sim p_z(\mathbf{z})$  batch of prior samples;  
     $\mathbf{w} \leftarrow \mathbf{w} + \eta \cdot \text{RMSProp} \left( \mathbf{w}, \nabla_{\mathbf{w}} \left[ \frac{1}{m} \sum_{i=1}^m f_{\mathbf{w}}(\mathbf{x}^{(i)}) - \frac{1}{m} \sum_{i=1}^m f_{\mathbf{w}}(g_{\theta}(\mathbf{z}^{(i)})) \right] \right)$ ;  
     $\mathbf{w} \leftarrow \text{clip}(\mathbf{w}, -c, c)$ ; # Weight Clipping  
  end for  
  Sample  $\{\mathbf{z}^{(i)}\}_{i=1}^m \sim p_z(\mathbf{z})$  batch of prior samples;  
   $\theta \leftarrow \theta - \eta \cdot \text{RMSProp} \left( \theta, \nabla_{\theta} \left[ \frac{1}{m} \sum_{i=1}^m f_{\mathbf{w}}(g_{\theta}(\mathbf{z}^{(i)})) \right] \right)$ ;  
end while
```


- Для того, чтобы функция дискриминатора удовлетворяла условию *K-Lipschitz continuous*, веса дискриминатора ограничивают в процессе обучения.
- Модель дискриминатора выступает не в качестве *прямого критика*, а в качестве помощника при оценке метрики Вассерштейна между *реальным* и *сгенерированным* распределениями данных.
- Авторы алгоритма рекомендовали использовать *RMSProp*, а не *Adam*, поскольку он мог вызвать нестабильность в обучении модели.
- WGAN не является *совершенным*; он страдает от нестабильного обучения и медленной сходимости после ограничения весов.

- Для того, чтобы для обучения критика можно было применить условие Канторовича-Рубенштейна, функция критика должна быть Липшицевой.
- По определению, Липшицева норма (наименьшая константа K , при которой выполняется условие K -Lipschitz continuous):

$$\|f\|_{\text{Lip}} = \sup_{\mathbf{x}_1 \neq \mathbf{x}_2} \frac{\|f(\mathbf{x}_1) - f(\mathbf{x}_2)\|_2}{\|\mathbf{x}_1 - \mathbf{x}_2\|_2}.$$

- Если функция f дифференцируема, то: $f(\mathbf{x}_1) - f(\mathbf{x}_2) = \nabla f(\mathbf{h}) \cdot \Delta \mathbf{x}$, $\mathbf{h} \in [\mathbf{x}_1, \mathbf{x}_2]$, и:

$$\|f\|_{\text{Lip}} = \sup_{\mathbf{x}_1 \neq \mathbf{x}_2} \frac{\|f(\mathbf{x}_1) - f(\mathbf{x}_2)\|_2}{\|\mathbf{x}_1 - \mathbf{x}_2\|_2} = \sup_{\Delta \mathbf{x} \neq 0} \frac{\|\nabla f(\mathbf{h}) \cdot \Delta \mathbf{x}\|_2}{\|\Delta \mathbf{x}\|_2}.$$

- При фиксированной норме $\|\Delta \mathbf{x}\|_2$ требуется подобрать $\|\nabla f(\mathbf{h}) \cdot \Delta \mathbf{x}\|_2$ так, чтобы норма Липшица была максимальной.

- Спектральная норма матрицы \mathbf{A} определяется как:

$$\sigma(\mathbf{A}) = \max_{\|\mathbf{x}\|_2} \frac{\|\mathbf{Ax}\|_2}{\|\mathbf{x}\|_2}.$$

- Таким образом, норма Липшица:

$$\|f\|_{\text{Lip}} = \sup_{\Delta \mathbf{x} \neq 0} \frac{\|\nabla f(\mathbf{h}) \cdot \Delta \mathbf{x}\|_2}{\|\Delta \mathbf{x}\|_2} = \sup_{\mathbf{h}} \sigma(\nabla f(\mathbf{h})).$$

- Для линейного слоя $f(\mathbf{h}) = \mathbf{Wh}$ в нейронной сети:

$$\|f\|_{\text{Lip}} = \sup_{\mathbf{h}} \sigma(\nabla(\mathbf{Wh})) = \sup_{\mathbf{h}} \sigma(\mathbf{W}) = \sigma(\mathbf{W}).$$

- Пусть Липшицева норма функции активации $\|a_l\|_{\text{Lip}}$ равна единице (это справедливо для ReLU, LeakyReLU и других популярных функций): $\|a_l\|_{\text{Lip}} = 1$.

- Можно показать справедливость неравенства:

$$\|f_1 \circ f_2\|_{\text{Lip}} \leq \|f_1\|_{\text{Lip}} \cdot \|f_2\|_{\text{Lip}}.$$

- Применяя его к многослойной полносвязной нейросети, оценим её норму Липшица:

$$\|f\|_{\text{Lip}} \leq \|\mathbf{W}^{L+1} \mathbf{h}_L\|_{\text{Lip}} \cdot \|a_L\|_{\text{Lip}} \cdot \|\mathbf{W}^L \mathbf{h}_{L-1}\|_{\text{Lip}} \cdots \|a_1\|_{\text{Lip}} \cdot \|\mathbf{W}^1 \mathbf{h}_0\|_{\text{Lip}} = \prod_{l=1}^{L+1} \sigma(\mathbf{W}^l).$$

- Если нормализовать спектральную норму матриц весов:

$$\bar{\mathbf{W}}_{\text{SN}}(\mathbf{W}) = \frac{\mathbf{W}}{\sigma(\mathbf{W})},$$

то $\sigma(\bar{\mathbf{W}}_{\text{SN}}(\mathbf{W})) = 1$, и норма Липшица нейросети:

$\|f\|_{\text{Lip}} \leq 1.$

- **Спектральная нормализация** – это метод регуляризации, используемый в генеративно-состязательных сетях (GAN) для стабилизации обучения и улучшения качества генерируемых данных.
- Обычно она применяется к весам дискриминатора (критика) с целью ограничения его «мощности» и предотвращения таких проблем, как исчезающий градиент или нестабильность обучения.
- Для матрицы весов **W** в слое нейронной сети спектральная норма:

$$\sigma(\mathbf{W}) = \max_{\mathbf{x} \neq 0} \frac{\|\mathbf{W}\mathbf{x}\|_2}{\|\mathbf{x}\|_2}.$$

Здесь $\|\cdot\|_2$ – евклидова норма. Спектральная нормализация ограничивает спектральную норму матрицы весов каждого слоя нейронной сети.

Инициализировать $\tilde{\mathbf{u}}_l \sim \mathcal{N}(\mathbf{0}, \sigma \mathbb{I})$ для всех слоёв $l \in [1..L]$.

for $t = 1, \dots, T$ **do**

for $l = 1, \dots, L$ **do**

 Применить итерационный метод к ненормализованной матрице:

$$\tilde{\mathbf{v}}_l \leftarrow \frac{(\mathbf{W}^l)^T \tilde{\mathbf{u}}_l}{\|(\mathbf{W}^l)^T \tilde{\mathbf{u}}_l\|_2}, \quad \tilde{\mathbf{u}}_l \leftarrow \frac{\mathbf{W}^l \tilde{\mathbf{v}}_l}{\|\mathbf{W}^l \tilde{\mathbf{v}}_l\|_2}.$$

 Вычислить спектральную нормализацию:

$$\bar{\mathbf{W}}_{\text{SN}}^l(\mathbf{W}^l) = \frac{\mathbf{W}^l}{\sigma(\mathbf{W}^l)}, \quad \sigma(\mathbf{W}^l) = \tilde{\mathbf{u}}_l^T \mathbf{W}^l \tilde{\mathbf{v}}_l.$$

 Обновить веса на мини-батче \mathcal{D}_M :

$$\mathbf{W}^l \leftarrow \mathbf{W}^l - \eta \nabla_{\mathbf{W}^l} \mathcal{L}(\bar{\mathbf{W}}_{\text{SN}}^l(\mathbf{W}^l), \mathcal{D}_M).$$

end for

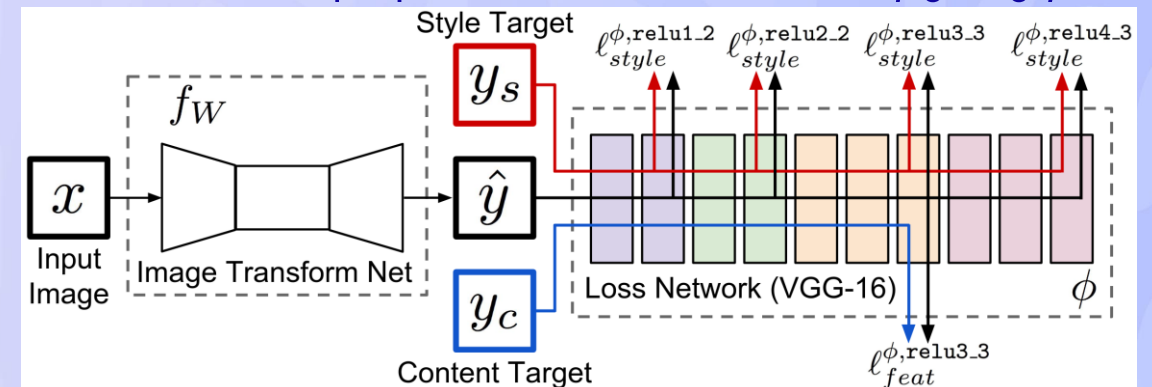
end for

Название	Формула	Особенности / свойства
Saturation Loss (классическая функция ошибки GAN)	$\min_G \max_D \left[\mathbb{E}_{p_r(\mathbf{x})} [\log D(\mathbf{x})] + \mathbb{E}_{p_z(\mathbf{z})} [\log (1 - D(G(\mathbf{z})))] \right]$	<ul style="list-style-type: none"> • Может приводить к проблеме <u>исчезающего градиента</u>, особенно на ранних стадиях обучения. • Генератор «насыщается», если дискриминатор <u>слишком сильный</u>.
Non-Saturation Loss (неклассическая функция ошибки GAN)	$\min_G \max_D \left[\mathbb{E}_{p_r(\mathbf{x})} [\log D(\mathbf{x})] + \mathbb{E}_{p_z(\mathbf{z})} [-\log D(G(\mathbf{z}))] \right]$	<ul style="list-style-type: none"> • Улучшает обучение генератора, так как градиенты для генератора <u>не исчезают</u>. • <u>Максимизирует вероятность</u>, что созданные данные классифицируются как реальные. • Часто используется на практике для <u>стабилизации обучения</u>.
Wasserstein Loss (функция ошибки для WGAN)	$\min_G \max_D \left[\mathbb{E}_{p_r(\mathbf{x})} [D(\mathbf{x})] - \mathbb{E}_{p_z(\mathbf{z})} [D(G(\mathbf{z}))] \right]$	<ul style="list-style-type: none"> • Основана на <u>расстоянии Вассерштейна</u>, улучшает <u>стабильность обучения</u>. • Требуется, чтобы дискриминатор был <u>1-Липшицевым</u>. • <u>Уменьшает проблемы</u> с исчезающим градиентом и коллапсом моды.

Название	Формула	Особенности / свойства
Weight Clipping (Original WGAN)	$w_i \leftarrow \text{clip}(w_i, -c, c), \quad w_i \in \mathbf{W}$	<ul style="list-style-type: none"> Простой способ <u>ограничения весов</u>. Накладывает <u>ограничение Липшица</u> на дискриминатор. Может привести к <u>нестабильности обучения</u>, если значение c выбрано неудачно.
Gradient Penalty (градиентный штраф)	$\lambda \cdot \mathbb{E}_{p_{\hat{\mathbf{x}}}(\hat{\mathbf{x}})}[(\ \nabla_{\hat{\mathbf{x}}} D(\hat{\mathbf{x}})\ _2 - 1)^2],$ $\hat{\mathbf{x}} = \varepsilon \mathbf{x} + (1 - \varepsilon) \tilde{\mathbf{x}},$ $\mathbf{x} \sim p_r(\mathbf{x}), \quad \tilde{\mathbf{x}} \sim p_g(\tilde{\mathbf{x}}), \quad \varepsilon_i \sim \mathcal{U}(0,1) \quad \forall i$	<ul style="list-style-type: none"> Используется в WGAN-GP для обеспечения <u>Липшицевости критика</u>. Штрафует отклонение <u>градиента дискриминатора</u> от нормы 1. Улучшает <u>стабильность обучения</u> и <u>качество генерации</u>.
Spectral Normalization (спектральная нормализация)	$\bar{\mathbf{W}}_{\text{SN}}(\mathbf{W}) = \frac{\mathbf{W}}{\sigma(\mathbf{W})}$	<ul style="list-style-type: none"> <u>Нормализует веса</u> дискриминатора для обеспечения Липшицевости. Используется в <u>SN-GAN</u>. <u>Прост в реализации, вычислительно эффективен, улучшает стабильность обучения</u>.

- В задачах преобразования изображений требуется одно изображение преобразовать в другое (шумоподавление, увеличение разрешения, раскраска и т.д.).
- Данные задачи обычно решаются с помощью *нейросети*, обученной с использованием *ошибки – различия* между изображениями.
- Однако, как измерять различие между изображениями?
- *Наивный подход*: попиксельная ошибка (*per-pixel loss*). Однако, данная функция ошибки не учитывает внутренней структуры изображений.
- *Улучшенный подход*: использование ошибки восприятия (*perceptual loss*). Данная функция ошибки использует высокоуровневые признаки, связанные с семантикой изображений.

- В SRGAN предлагается способ контроля схожести изображений и стиля.
- Идея: ввести две нейронные сети – transformation network и loss network.
 - Первая используется для преобразования исходного изображения $x \in X$ в выходное $\hat{y} \in Y$: $\hat{y} = f_W(x)$.
 - Вторая осуществляет преобразование входного изображения в тензор признаков, содержащих информацию о структуре изображения, которые вместе используются для сравнения признаков изображений и стиля с применением perceptual loss functions.



- *Loss network* используется для оценки ошибки реконструкции признаков (feature reconstruction loss) ℓ_{feat}^ϕ и ошибки реконструкции стиля (style reconstruction loss) ℓ_{style}^ϕ . Эти ошибки и составляют ошибку восприятия (perceptual loss). Соответствующие функции определяются следующим образом:

$$\ell_{feat}^{\phi,j}(\hat{\mathbf{y}}, \mathbf{y}) = \frac{1}{C_j H_j W_j} \|\phi_j(\hat{\mathbf{y}}) - \phi_j(\mathbf{y})\|_2^2,$$
$$\ell_{style}^{\phi,j}(\hat{\mathbf{y}}, \mathbf{y}) = \frac{1}{C_j H_j W_j} \|G_j^\phi(\hat{\mathbf{y}}) - G_j^\phi(\mathbf{y})\|_F^2, \quad G_j^\phi(\mathbf{x})_{c,c'} = \frac{1}{C_j H_j W_j} \sum_{h=1}^{H_j} \sum_{w=1}^{W_j} \phi_j(\mathbf{x})_{h,w,c} \phi_j(\mathbf{x})_{h,w,c'},$$

Здесь $\phi_j(\mathbf{x})$ – активация j -того слоя *loss network* для входа \mathbf{x} , $\phi_j(\mathbf{x}) \in \mathbb{R}^{C_j \times H_j \times W_j}$, $G_j^\phi(\mathbf{x}) \in \mathcal{Mat}(C_j \times C_j)$ – матрица Грама.

- *Transformation network* обучается с использованием градиентного спуска посредством минимизации взвешенной комбинации функций ошибок:

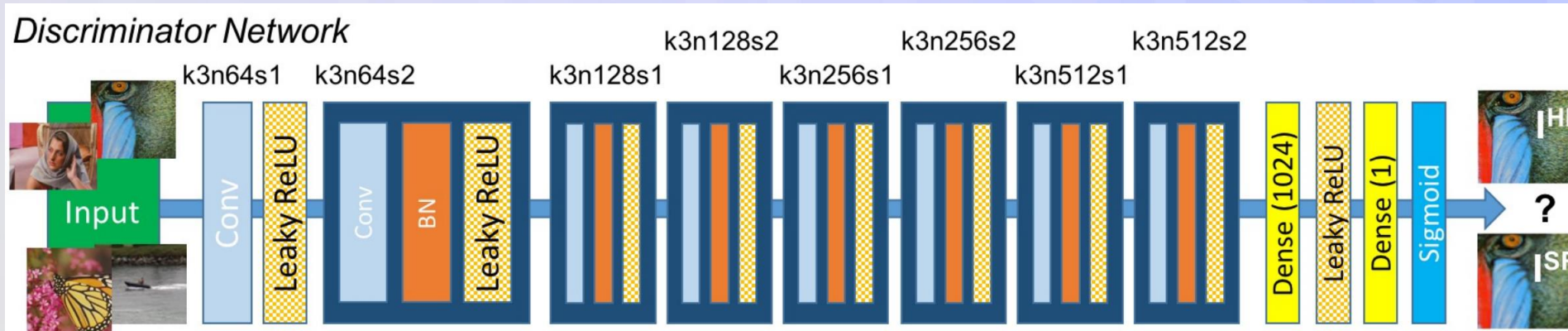
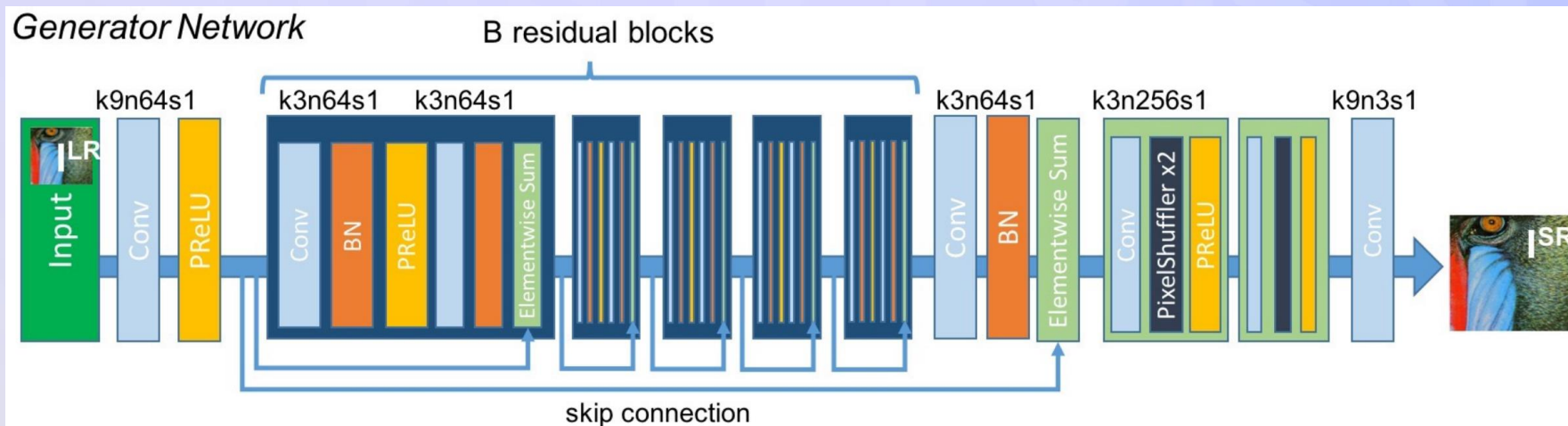
$$W^* = \arg \min_W \mathbb{E}_{\mathbf{x}, \{\mathbf{y}_i\}} \left[\sum_{i=1}^M \lambda_i \ell_i(f_W(\mathbf{x}), \mathbf{y}_i) \right].$$

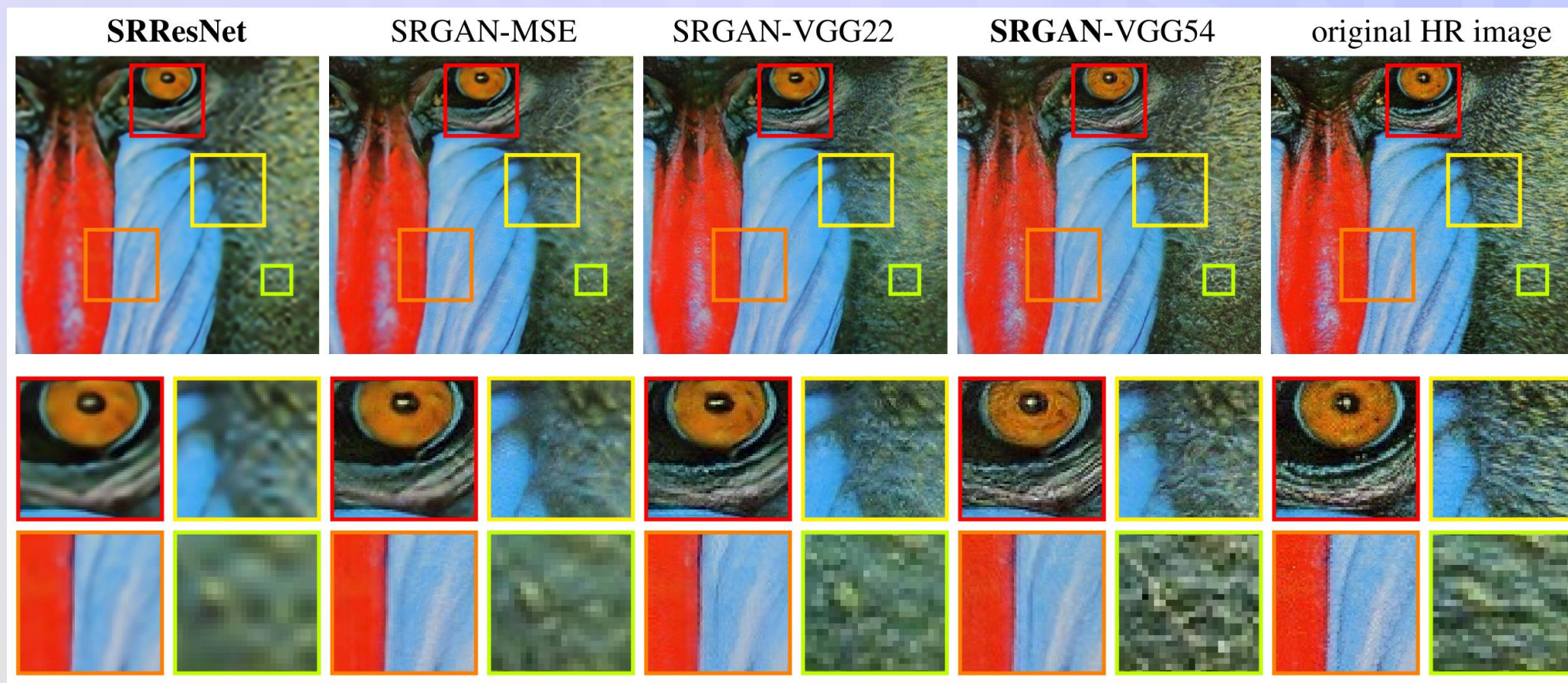
- *Loss network* при этом не обучается и работает как преобразователь признаков. Она является предобученной сетью на задаче классификации изображений (обычно, на *ImageNet*).
- При решении задачи переноса стиля \mathbf{y}_c – это входное изображение \mathbf{x} , а выход $\hat{\mathbf{y}}$ должен сочетать в себе $\mathbf{x} = \mathbf{y}_c$ и стиль \mathbf{y}_s .
- При решении задачи увеличения разрешения изображение \mathbf{x} имеет низкое разрешение, а \mathbf{y}_c – высокое. Style reconstruction loss не используется.

- Аналогичная идея положена в основу Super-Resolution GAN (SRGAN): в процессе генерации изображений с более *высоким разрешением* оценивать их схожесть с помощью *perceptual loss*, которая, в свою очередь, вычисляется с использованием *VGG loss* – евклидова расстояния между представлениями признаков сгенерированного и реального изображений, полученных с одного из слоёв *предобученной нейросети VGG-19* (признаки формируются после *активации j -того сверточного слоя* перед i -тым слоем пулинга):

$$\ell_{VGG/ij}^{SR} = \frac{1}{W_{i,j}H_{i,j}} \sum_{x=1}^{W_{i,j}} \sum_{y=1}^{H_{i,j}} \left[\phi_{i,j}(I^{HR})_{x,y} - \phi_{i,j}(G_{\theta_G}(I^{LR}))_{x,y} \right]^2.$$

- Тогда полная ошибка будет включать в себя взвешенную сумму *adversarial loss* и *perceptual loss*.

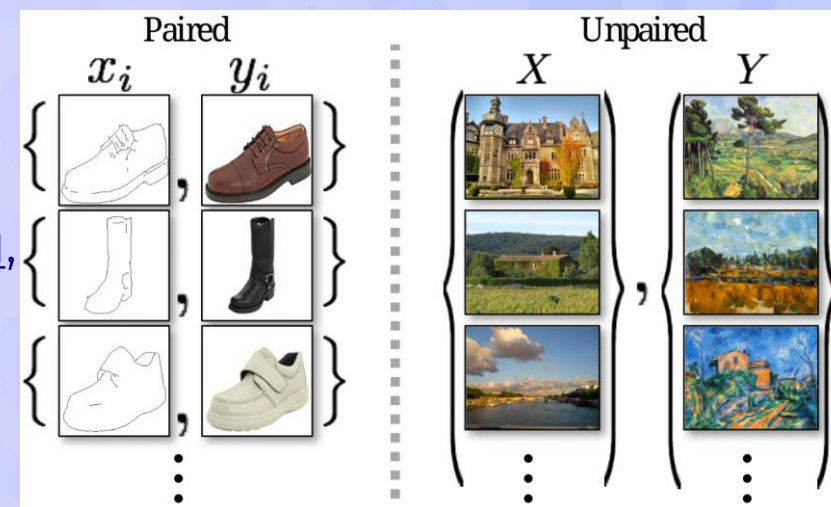




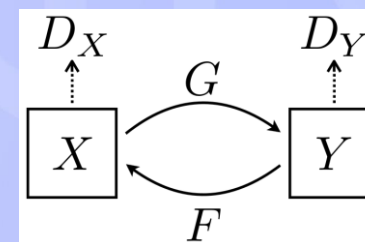
- Задачи Image-to-Image Translation – это класс задач компьютерного зрения и графики, целью которого является изучение отображения между входным и выходным изображениями с использованием обучающего набора соответствующих пар изображений.
- Подобная задача широко изучена для различных областей. Она сводится к задаче обучения «с учителем» на подготовленных в датасете парах изображений: $\{\mathbf{x}_i, \mathbf{y}_i\}_{i=1}^N$.
- Однако, подготовка датасета с парами изображений часто является сложной и дорогой. В ряде случаев даже неясно, как определить выходное изображение.



- Что делать, если датасет пар недоступен или имеет *небольшой объём*?
- Для решения задачи было предложено использовать **Cycle-Consistent Adversarial Networks** (*cycleGAN*).
- В основу создания алгоритма *cycleGAN* положена *идея*, что для изучения перевода одного изображения в другое можно использовать не связанные пары изображений, а просто набор изображений из двух классов. При этом алгоритм пытается изучить связь между классами изображений.
- Обучение *cycleGAN* выполняется на уровне множеств X и Y , а не объектов.



- Изображения, используемые для обучения CycleGAN, принадлежат двум множествам: $\mathbf{x} \in X$, $\mathbf{y} \in Y$.
- Введем отображение $G: X \rightarrow Y$, так, чтобы $\hat{\mathbf{y}} = G(\mathbf{x})$ являлся изображением, неотличимым от \mathbf{y} с точки зрения генеративно-состязательного процесса.
- Тогда $\mathbf{y} \sim p_r(\mathbf{y})$, $\hat{\mathbf{y}} \sim p_r(\mathbf{y})$. Однако, поскольку \mathbf{x}_i и \mathbf{y}_i не являются парой изображений, то существует бесконечно много $G : G(\mathbf{x}) \sim p_r(\mathbf{y})$.
- Также, все недостатки, свойственные GAN, остаются (например, *mode collapse*). Поэтому, требуется добавить новые ограничения при поиске G .
- В cycleGAN вводится свойство постоянства цикла (*cycle consistent*): введём $F: Y \rightarrow X$, тогда G и F будут взаимно обратными, биективными функциями.



- *Cycle consistent* достигается одновременным обучением функций G и F и введением ошибки постоянства цикла (cycle consistency loss), которая поощряет условия $F(G(\mathbf{x})) \approx \mathbf{x}$ и $G(F(\mathbf{y})) \approx \mathbf{y}$:

$$\mathcal{L}_{\text{cyc}}(G, F) = \mathbb{E}_{\mathbf{x} \sim p_{rx}(\mathbf{x})} [\|F(G(\mathbf{x})) - \mathbf{x}\|_1] + \mathbb{E}_{\mathbf{y} \sim p_{ry}(\mathbf{y})} [\|G(F(\mathbf{y})) - \mathbf{y}\|_1].$$

- Для обучения CycleGAN также применяется два вида состязательной ошибки (Adversarial Loss):

$$\mathcal{L}_{\text{GAN}}(G, D_Y, X, Y) = \mathbb{E}_{\mathbf{y} \sim p_{ry}(\mathbf{y})} [\log D_Y(\mathbf{y})] + \mathbb{E}_{\mathbf{x} \sim p_{rx}(\mathbf{x})} [\log(1 - D_Y(G(\mathbf{x})))].$$

$$\mathcal{L}_{\text{GAN}}(F, D_X, Y, X) = \mathbb{E}_{\mathbf{x} \sim p_{rx}(\mathbf{x})} [\log D_X(\mathbf{x})] + \mathbb{E}_{\mathbf{y} \sim p_{ry}(\mathbf{y})} [\log(1 - D_X(F(\mathbf{y})))].$$

- Тогда полная ошибка CycleGAN может быть записана в виде:

$$\mathcal{L}(G, F, D_X, D_Y) = \mathcal{L}_{\text{GAN}}(G, D_Y, X, Y) + \mathcal{L}_{\text{GAN}}(F, D_X, Y, X) + \lambda \mathcal{L}_{\text{cyc}}(G, F).$$

- В процессе обучения CycleGAN требуется решить задачу:

$$G^*, F^* = \arg \min_{G, F} \max_{D_X, D_Y} \mathcal{L}(G, F, D_X, D_Y).$$

- Процесс обучения CycleGAN можно представить так:

for i **in** iterations:

train discriminators

calc adversarial losses for D_X and D_Y ;

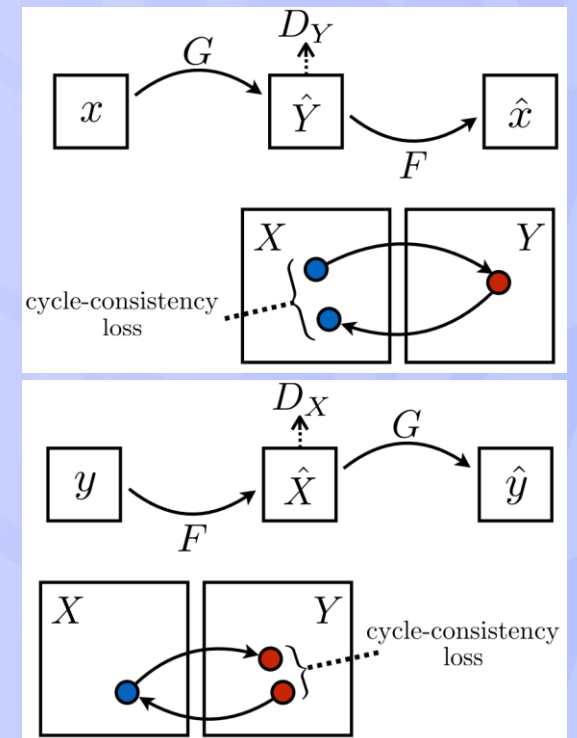
backward() and optimize(D_X, D_Y);

train generators

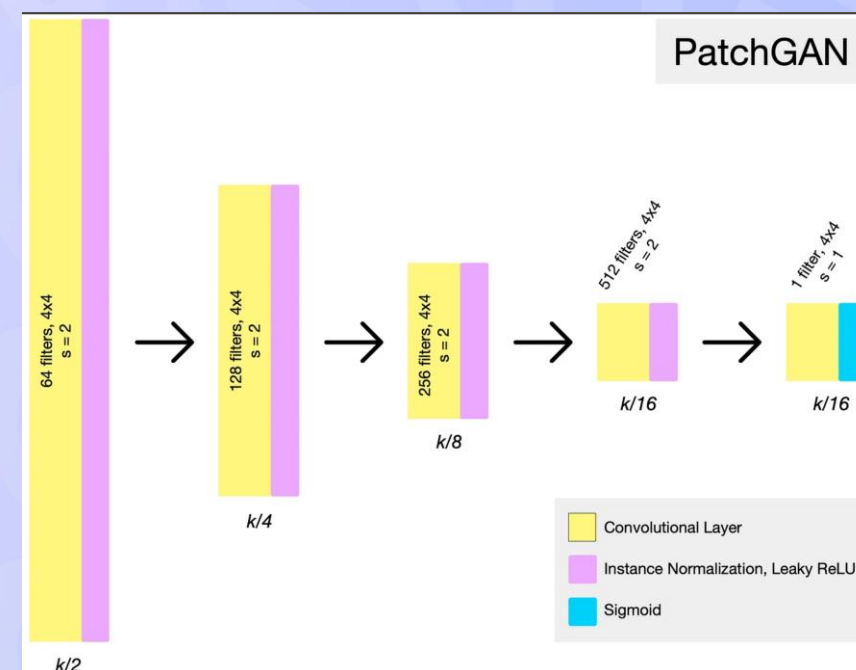
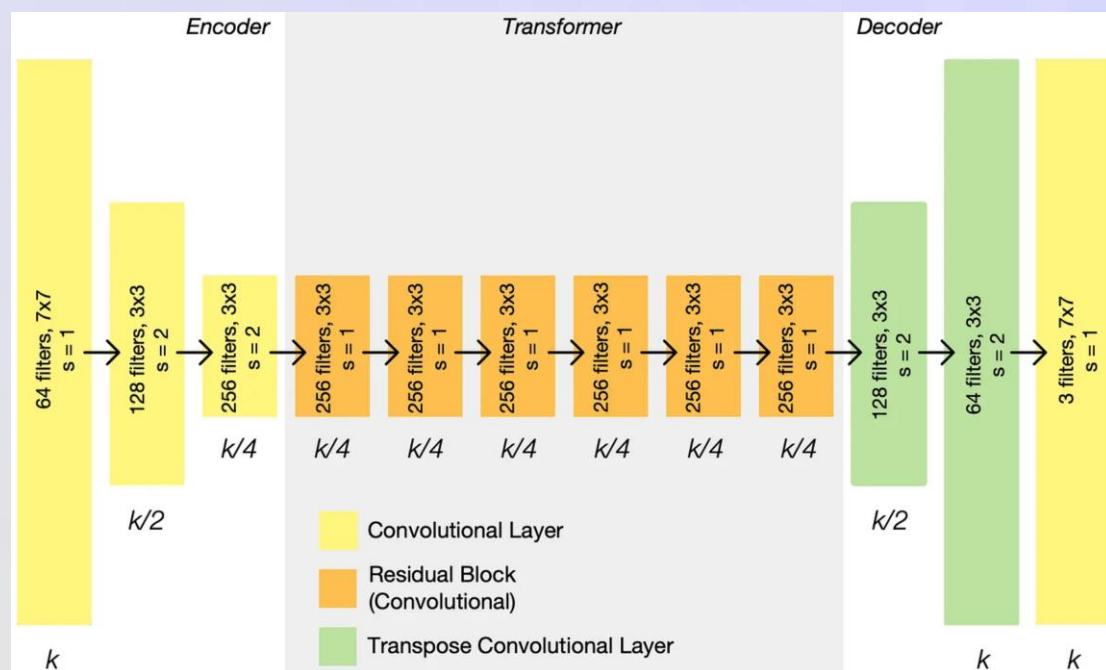
calc adversarial losses for G and F ;

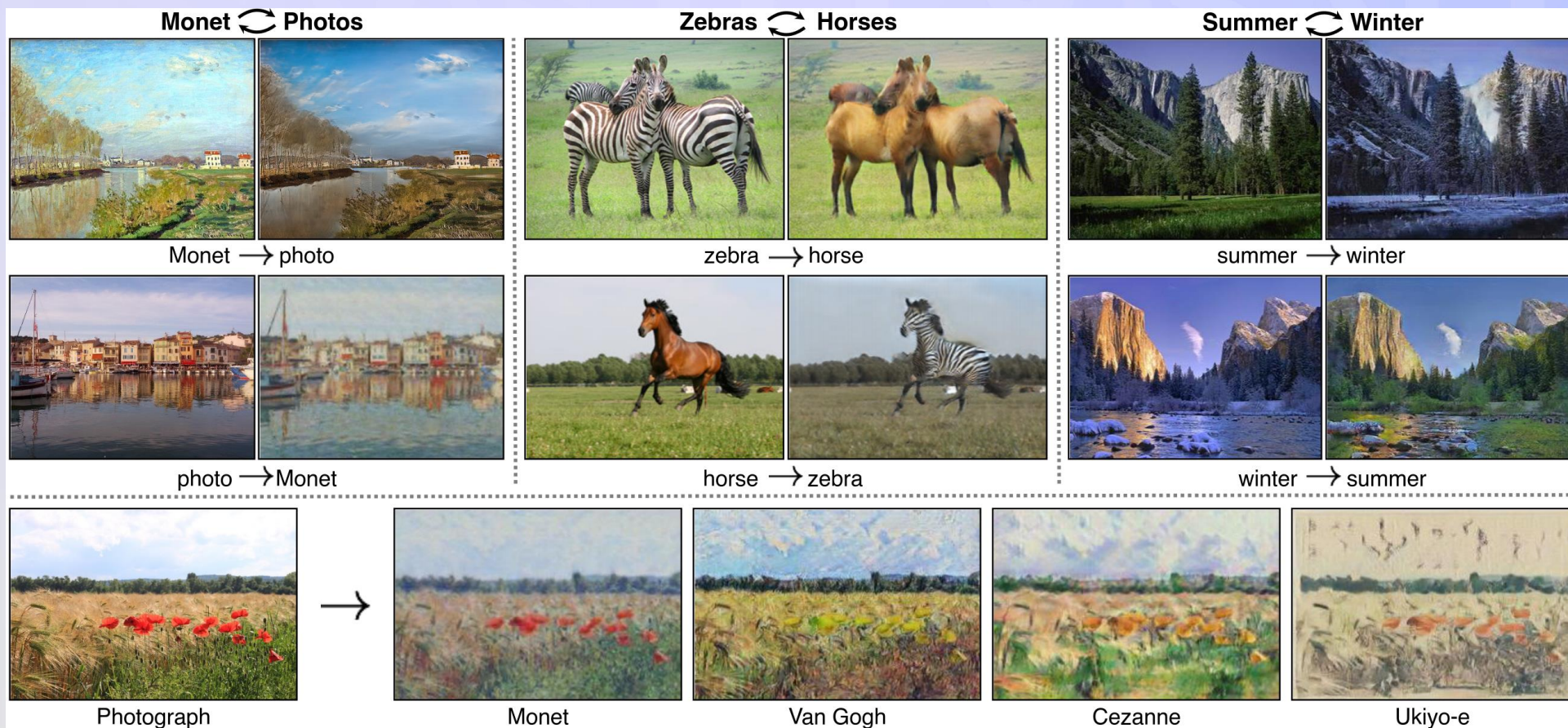
calc cycle consistent loss, append to losses;

backward() and optimize(G, F);



- Использование MSE вместо BCE показало лучшие результаты.
- Обновление дискриминаторов выполняется по истории 50 изображений.





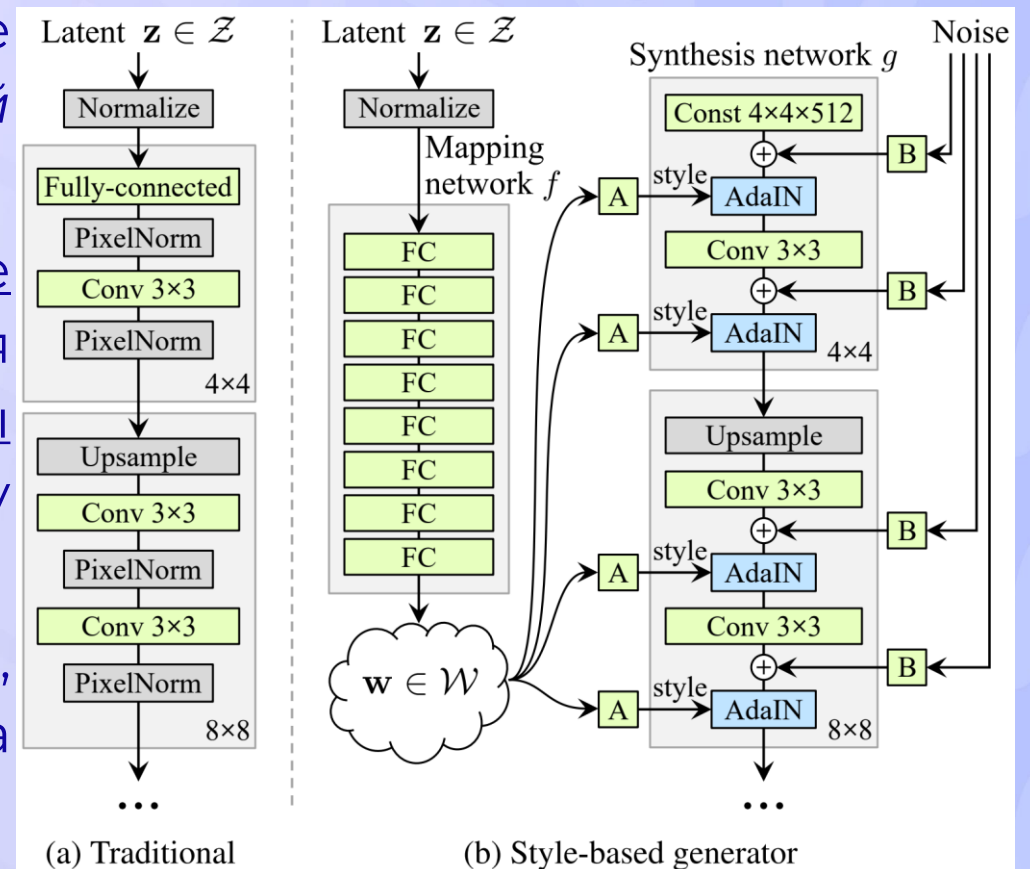
- *Классические* генеративно-сопоставительные сети ведут себя как «*черные ящики*»: неясно, как генерируется изображение, обладающее теми или иными свойствами.
- Свойства *латентного пространства* изучены недостаточно.
- *StyleGAN* предлагает новую архитектуру генератора для GAN: *Style-based generator*. В её основе лежит постепенное преобразование вектора признаков при увеличении масштабов изображения с добавлением шума.
- Этот генератор позволяет выполнять *автоматическое, неуправляемое* разделение высокоуровневых признаков в генерируемых изображениях.
- *Дискриминатор* и *функция ошибки* остаются неизменными, которые используются в *классических* архитектурах GAN.

- Введём обучаемый латентный вектор $\mathbf{z} \in \mathcal{Z}$ и отображение $f: \mathcal{Z} \rightarrow \mathcal{W}$, задаваемое нейронной сетью (обычно многослойным перцептроном) (*mapping network*) и формирующее вектор промежуточного латентного пространства $\mathbf{w} = f(\mathbf{z})$, $\mathbf{w} \in \mathcal{W}$.
- Вектор \mathbf{w} посредством обучаемого аффинного преобразования преобразуется в вектор стиля (style vector): $\mathbf{y} = (\mathbf{y}_s, \mathbf{y}_b) = d(\mathbf{w})$, который управляет адаптивной instance-нормализацией:

$$\text{AdaIN}(\mathbf{x}_i, \mathbf{y}) = \mathbf{y}_{s,i} \frac{\mathbf{x}_i - \mu(\mathbf{x}_i)}{\sigma(\mathbf{x}_i)} + \mathbf{y}_{b,i}.$$

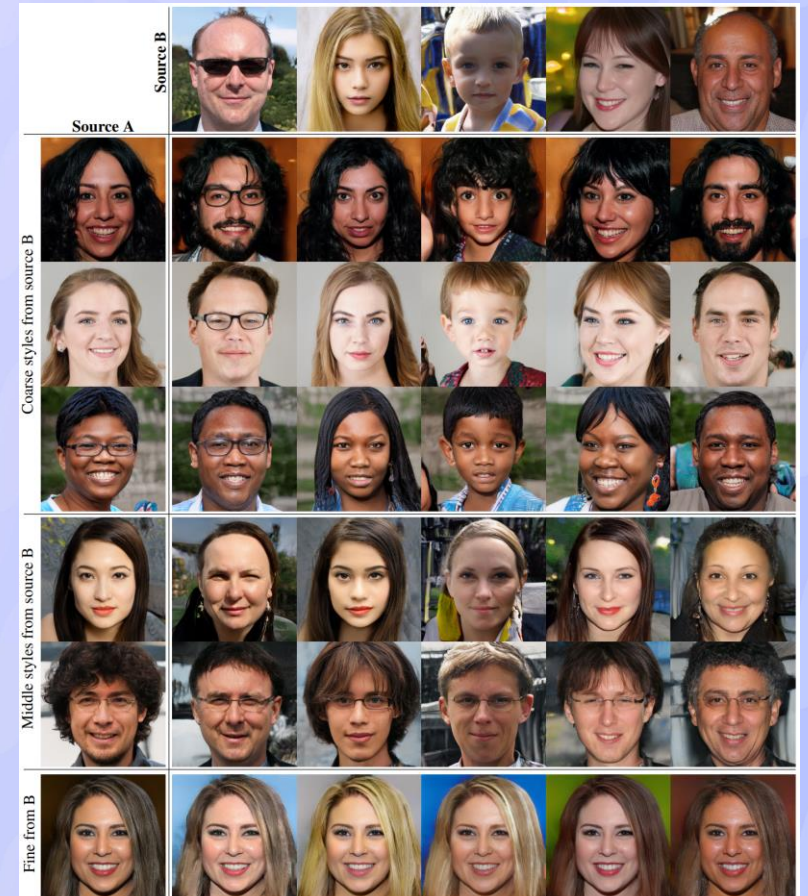
- На вход адаптивной instance-нормализации подаётся также шум, который суммируется с выходом предыдущего свёрточного слоя генератора.

- Гауссовский шум добавляется после каждой свертки, перед функцией активации.
- Здесь "А" обозначает обучаемое аффинное преобразование, а функция "В" применяет обученные коэффициенты масштабирования по каналам к входному шуму.
- *Mapping network f* состоит из 8 слоев, а *synthesis network g* – из 18 слоев, по два слоя на каждое разрешение.

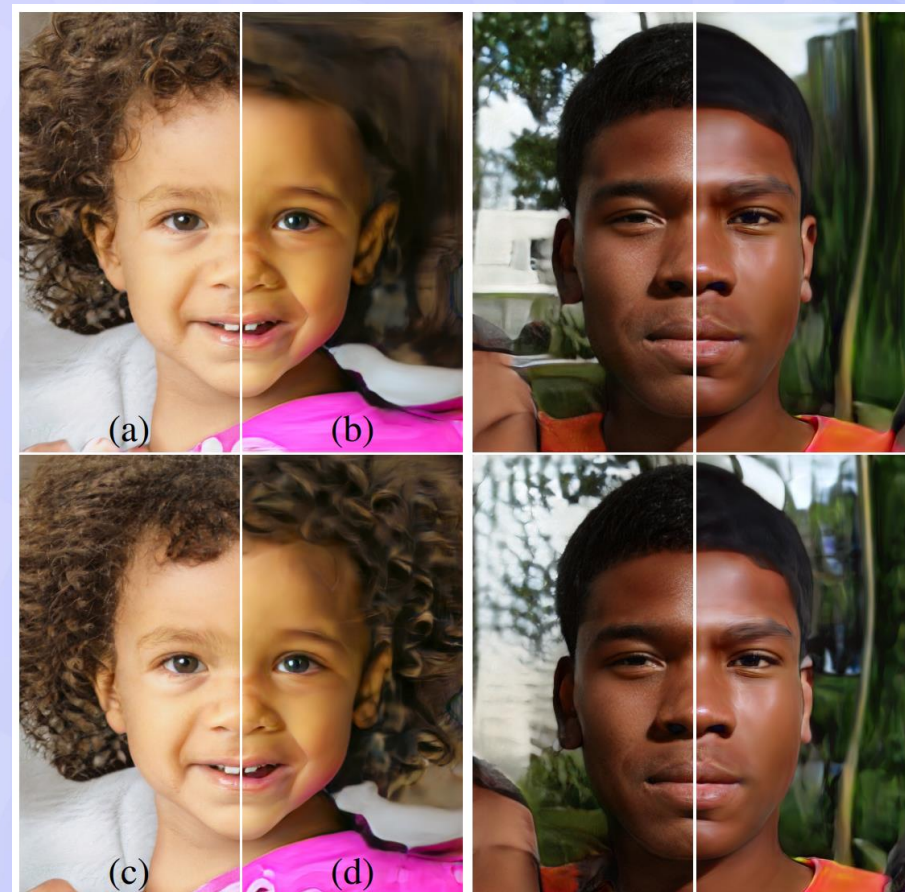


- Архитектура *style-based* генератора позволяет управлять синтезом изображений с помощью модификаций стилей.
- Можно рассматривать *mapping network* и аффинные преобразования как способ получения образцов для каждого стиля из изученного распределения, а *synthesis network* – как способ генерирования нового изображения на основе набора стилей.
- Эффекты каждого стиля локализованы в нейросети, т. е. изменение определенного подмножества стилей может повлиять только на определенные аспекты изображения.
- Данные свойства генератора позволяют реализовать смешение стилей (*style mixing*) и стохастическую вариацию изображения.

- Для создания изображения с различными стилями нужно просто переключиться с одного латентного вектора на *другой* в произвольно выбранной точке *synthesis network*.
- $\mathbf{w}_1 = f(\mathbf{z}_1), \mathbf{w}_2 = f(\mathbf{z}_2), \xi_i = \text{AdaIN}(\mathbf{x}_i, \mathbf{y}(\mathbf{w}_{k(i)})),$
 $u = \text{rand}(1, N), \quad k(i) = \begin{cases} 1, & \text{if } i < u \\ 2, & \text{otherwise} \end{cases}$
- Чем раньше в *synthesis network* включается латентный вектор \mathbf{w}_2 , отвечающий за *второй стиль*, тем больше элементов из *второго стиля* появится в генерируемом изображении.



- Эффект шума, подаваемого на слои сети:
 - a) Шум, поданный на *все* слои.
 - b) *Отсутствие* шума.
 - c) Шум, поданный на *поздние* слои.
 - d) Шум, поданный на *ранние* слои.
- Видно, что отсутствие шума ведет к "живописному" виду. Шум на ранних слоях приводит к крупным завиткам волос и появлению крупных фоновых деталей, а на поздних – выявляет более мелкие завитки волос, мелкие детали фона и поры кожи.



Демонстрация практических примеров

Заключение

1. Рассмотрели новую меру схожести распределений и выявили её особенности, значимые для обучения генеративно-сопоставительных сетей.
2. Поговорили про Wasserstein GAN и рассмотрели алгоритм его обучения.
3. Рассмотрели алгоритм спектральной нормализации.
4. Рассмотрели задачи преобразования изображений, поговорили о подходах к её решению, выяснили место GANs среди них.
5. Поговорили про использование perception loss при работе со стилями и разрешением изображений, рассмотрели архитектуру SRGAN.
6. Рассмотрели архитектуру, функционирование и способ обучения CycleGAN.
7. В теории и на практическом примере рассмотрели принцип обучения StyleGAN и генерацию изображений с её использованием.

Спасибо за внимание!

Волгоград 2025
